

УДК 549.732

КРИСТАЛЛОГРАФИЯ

М. А. СИМОНОВ, Е. В. КАЗАНСКАЯ, Ю. К. ЕГОРОВ-ТИСМЕНКО,
Е. П. ЖЕЛЕЗИН, академик Н. В. БЕЛОВ

**УТОЧНЕННАЯ КРИСТАЛЛИЧЕСКАЯ СТРУКТУРА
ФРОЛОВИТА $\text{Ca}[\text{B}(\text{OH})_4]_2$**

Кристаллическая структура фроловита $\text{Ca}[\text{B}(\text{OH})_4]_2$, расшифрованная с участием авторов в 1972 г. (1), уточнена с целью локализации атомов водорода и сопоставления результатов по дифрактометрическому материалу, полученному при обычной и низкой температурах.

Экспериментальный материал (параметры элементарной ячейки и набор интенсивностей) получен с одного и того же кристалла изометричной формы на автоматическом дифрактометре Р1 «Синтекс»; при низких температурах с использованием приставки LT-1. Кристалл обдувается потоком газообразного азота, предварительно охлажденного в теплообменнике жидким азотом до $T = -140^\circ\text{C}$.

Параметры триклинной ячейки фроловита (a, b, c — ангстремы, α, β, γ — градусы): при $T = -18^\circ\text{C}$ $a = 7,774(2)$, $b = 5,680(1)$, $c = 8,136(2)$, $\alpha = 113,15(1)$, $\beta = 101,67(2)$, $\gamma = 107,87(2)$, $V = 292,2(1) \text{ \AA}^3$; при $T = -140^\circ\text{C}$ $a = 7,745(2)$, $b = 5,667(1)$, $c = 8,102(2)$, $\alpha = 113,24(2)$, $\beta = 101,54(2)$, $\gamma = 107,92(2)$, $V = 289,1(1) \text{ \AA}^3$; $Z = 2$, $d_{\text{эксп}} = 2,14 \text{ г}/\text{см}^3$, $d_{\text{выч}}(T = 18^\circ\text{C}) = 2,259$, $d_{\text{выч}}(T = -140^\circ\text{C}) = 2,284 \text{ г}/\text{см}^3$, ф.г. $C_i = P1$.

При уточнении структуры Ca-бараата использовались 3160 ($\max(\sin \theta)/\lambda = 0,77$) и 2858 ($\max(\sin \theta)/\lambda = 0,66 \text{ \AA}^{-1}$) независимых ненулевых ($I \geq 1,96 \sigma I$) отражений, зарегистрированных $2\theta : \theta$ -методом с переменной скоростью сканирования (Мо K_α -излучение, плоский графитовый монохроматор) соответственно при $T = 18$ и -140°C . Пересчет I в $|F_{hkl}|$ (без учета поглощения $\mu r = 0,09$) и все последующие математические операции выполнены на специализированной вычислительной системе для расшифровки структур XTL.

Сопоставление количеств отражений, зарегистрированных при обычных и низких температурах (табл. 1), позволяет отметить их увеличение с ростом $(\sin \theta)/\lambda$ для $T = -140^\circ\text{C}$. Сравнение средних величин отношения сигнал/фон ($C/\Phi = \langle F_{\text{эксп}}^2 / \sigma^2(F_{\text{эксп}}) \rangle$) как функции от $\sin^2 \theta$ для выбранных интервалов (рис. 1) демонстрирует улучшение (увеличение) C/Φ при низких температурах, особенно при больших величинах θ^* .

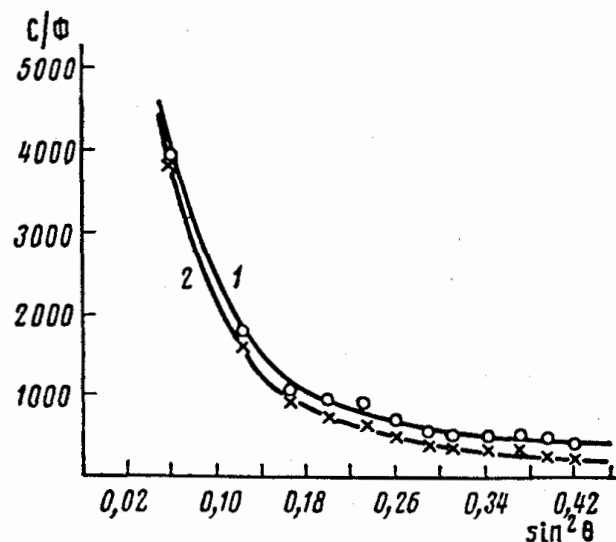


Рис. 1. График зависимости отношения сигнал/фон от $\sin^2 \theta$ для $T = 18^\circ$ (1) и -140°C (2) по экспериментальным данным для фроловита

* Это соответствует данным, полученными А. Христиансеном для органического соединения $\text{C}_7\text{H}_{12}\text{N}_2\text{O}_2$ (устное сообщение).

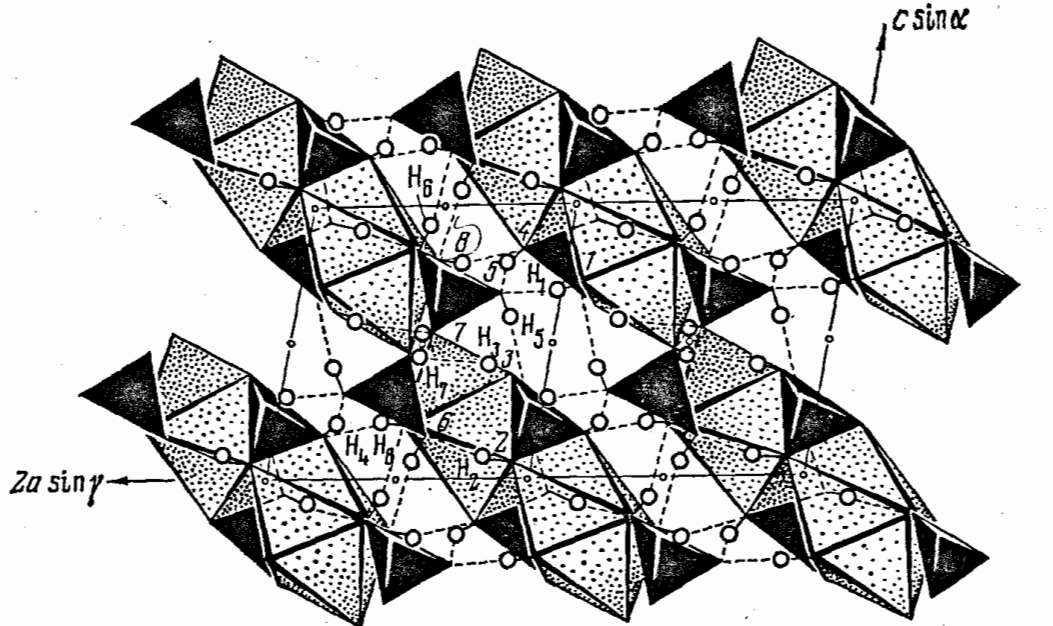


Рис. 2. Фроловит $\text{Ca}[\text{B}(\text{OH})_4]_2$. Проекция xx . Сплошной линией показаны связи донор — Н, штриховой — связи Н — акцептор

Координаты базисных атомов Са, В и О, взятые из ⁽¹⁾, уточнены методом наименьших квадратов (м.н.к.) в полноматричном изотропном приближении до $R_{hkl}=5,4\%$ ($T=18^\circ\text{C}$) и $R_{hkl}=4,0\%$ ($T=-140^\circ\text{C}$) и в анизотропном приближении — до $R_{hkl}=4,2\%$ ($T=18^\circ\text{C}$) и $R_{hkl}=3,6\%$ ($T=-140^\circ\text{C}$). На построенных нулевых разностных синтезах электронной плотности по экспериментальному материалу, снятому при $T=18^\circ\text{C}$, четко выявлены лишь четыре максимума, отождествленные с атомами Н, недостающие же четыре Н зафиксированы по данным низкотемпературного эксперимента.

Позиции найденных атомов Н уточнялись м.н.к. в изотропном приближении в два этапа: на первом уточняли лишь позиционные параметры при фиксированных $B_j=2,0 \text{ \AA}^2$, на втором — только B_j .

Таблица 1

Число отражений по интервалам $(\sin \theta)/\lambda$, зарегистрированных при -140 и 18°C

| Интервалы по $(\sin \theta)/\lambda$ | Количество отражений | | Интервалы по $(\sin \theta)/\lambda$ | Количество отражений | |
|--------------------------------------|----------------------|--------------------|--------------------------------------|----------------------|--------------------|
| | -140°C | 18°C | | -140°C | 18°C |
| 0—0,355 | 590 | 578 | 0,513—0,565 | 450 | 379 |
| 0,355—0,408 | 569 | 576 | 0,540—0,587 | 452 | 367 |
| 0,408—0,450 | 539 | 507 | 0,565—0,608 | 462 | 355 |
| 0,450—0,484 | 521 | 480 | 0,587—0,627 | 426 | 330 |
| 0,484—0,513 | 513 | 470 | 0,608—0,645 | 384 | 317 |
| 0,513—0,540 | 492 | 432 | 0,627—0,663 | 176 | 256 |

Приложение. Относительное уменьшение количества отражений, зарегистрированных в последних двух интервалах при низких температурах, связано с ограничениями по углам при работе с низкотемпературной приставкой LT-1.

Заключительный фактор расходимости с учетом локализованных атомов водорода $R_{hkl}=3,2\%$ ($T=-140^\circ\text{C}$) отвечает координатам базисных атомов и межатомным расстояниям, приведенным в табл. 2 и 3.

Сопоставление координат и межатомных расстояний и индивидуальных температурных факторов позволяет отметить уменьшение величины стандартных отклонений для низкотемпературного эксперимента и разницу в величине изотропных тепловых факторов у атомов Н, выявленных из обычного (меньшие B_j) и низкотемпературного экспериментов. Уточнение позиционных параметров атомов Н по данным низкотемпературного эксперимента приблизило к стандартным расстояниям донор — Н (табл. 4).

Таблица 2

Фроловит $\text{Ca}[\text{B}(\text{OH})_4]_2$. Координаты базисных атомов и индивидуальные изотропные и анизотропные температурные факторы

| Атомы | x/a | y/b | z/c | B_j | B_{11} | B_{22} | B_{33} | B_{12} | B_{13} | B_{23} |
|----------------|---------------------|-----------------------|------------------------|--------------------|--------------------|--------------------|--------------------|--------------------|--------------------|--------------------|
| Ca | 0,23651(5) 79(6) | 0,01813(7) 1781(8) | 0,18818(5) 18910(6) | 0,36(0) 0,73(1) | 0,35(1) 0,72(1) | 0,35(1) 0,69(1) | 0,40(1) 0,81(1) | 0,45(1) 0,31(1) | 0,11(1) 0,22(1) | 0,20(1) 0,39(1) |
| B ₁ | 0,0287(3) 78(3) | 0,4076(4) 2(4) | 0,2353(3) 49(3) | 0,52(2) 0,84(3) | 0,57(5) 0,83(6) | 0,48(5) 0,80(6) | 0,56(5) 0,88(6) | 0,23(4) 0,35(5) | 0,24(4) 0,28(5) | 0,28(4) 0,43(5) |
| B ₂ | 0,4383(3) 8(3) | 0,3149(4) 51(4) | 0,7119(3) 20(3) | 0,48(2) 0,76(3) | 0,49(5) 0,77(6) | 0,42(5) 0,76(6) | 0,50(5) 0,76(6) | 0,17(4) 0,34(5) | 0,17(4) 0,28(5) | 0,21(4) 0,35(5) |
| H ₁ | 0,020(4) | 0,292(5) | 0,688(4) | 10,1(9) | | | | | | |
| H ₂ | 0,191(4) | 0,416(5) | 0,078(4) | 2,9(5) | | | | | | |
| H ₃ | 0,232(4) | 0,485(5) | 0,415(4) | 12(1) | | | | | | |
| H ₄ | 0,793(4) | 0,107(5) | 0,202(4) | 3,5(6) | | | | | | |
| H ₅ | 0,183(4) | 0,027(6) | 0,581(4) | 3,0(6) | | | | | | |
| H ₆ | 0,541(4) | 0,277(5) | 0,926(4) | 3,0(5) | | | | | | |
| H ₇ | 0,498(4) | 0,15(5) | 0,520(4) | 13(1) | | | | | | |
| H ₈ | 0,609(4) | 0,346(4) | 0,204(4) | 2,7(5) | | | | | | |
| O ₁ | 0,0660(2) 55(2) | 0,7080(3) 60(3) | 0,3016(2) 14(2) | 0,58(2) 0,99(2) | 0,70(4) 1,11(5) | 0,44(4) 0,67(4) | 0,64(4) 1,16(5) | 0,26(3) 0,36(4) | 0,29(3) 0,40(4) | 0,26(3) 0,38(4) |
| O ₂ | 0,0830(2) 30(2) | 0,2948(3) 48(3) | 0,0654(2) 54(2) | 0,54(2) 1,00(2) | 0,53(4) 1,03(5) | 0,50(4) 0,87(4) | 0,51(4) 0,93(5) | 0,17(3) 0,31(4) | 0,21(3) 0,40(4) | 0,19(3) 0,32(4) |
| O ₃ | 0,1433(2) 18(2) | 0,3739(3) 11(3) | 0,3859(2) 41(2) | 0,60(2) 1,10(2) | 0,61(4) 1,25(5) | 0,70(4) 1,40(5) | 0,55(4) 1,05(5) | 0,32(3) 0,71(4) | 0,13(3) 0,27(4) | 0,35(3) 0,70(4) |
| O ₄ | 0,1820(2) 19(2) | 0,7724(3) 8(3) | 0,8306(2) 15(2) | 0,56(2) 1,00(2) | 0,51(4) 0,75(4) | 0,49(4) 0,94(4) | 0,77(4) 1,42(5) | 0,22(3) 0,30(4) | 0,27(3) 0,40(4) | 0,35(3) 0,67(4) |
| O ₅ | 0,2384(3) 92(2) | 0,1414(3) 36(3) | 0,6825(2) 8(2) | 0,61(2) 1,11(2) | 0,48(4) 0,79(4) | 0,59(4) 1,02(5) | 0,67(4) 1,37(5) | 0,13(3) 0,22(4) | 0,21(3) 0,43(4) | 0,28(3) 0,55(4) |
| O ₆ | 0,4243(2) 5(2) | 0,7353(3) 49(4) | 0,1606(2) 12(2) | 0,51(2) 0,90(2) | 0,53(4) 0,96(5) | 0,59(4) 1,05(5) | 0,47(4) 0,90(4) | 0,28(3) 0,56(4) | 0,14(3) 0,29(4) | 0,31(3) 0,57(4) |
| O ₇ | 0,4675(2) 2(2) | 0,2288(3) 91(3) | 0,5267(2) 74(2) | 0,51(2) 0,91(2) | 0,59(4) 1,09(5) | 0,55(4) 0,94(4) | 0,40(4) 0,72(4) | 0,26(3) 0,46(4) | 0,18(3) 0,34(4) | 0,23(3) 0,38(4) |
| O ₈ | 0,4858(2) 62(2) | 0,6236(3) 27(3) | 0,8092(2) 83(2) | 0,53(2) 0,92(2) | 0,52(4) 0,92(5) | 0,38(4) 0,62(4) | 0,62(4) 1,11(5) | 0,19(3) 0,32(4) | 0,17(3) 0,33(4) | 0,18(3) 0,30(4) |

П р и м е ч а н и е. В скобках указаны стандартные отклонения. В первой и второй строках приведены результаты, полученные соответственно по эксперименту при -140°C и 18°C . Анизотропные температурные факторы рассчитаны по формуле $T = \exp[-1/4(B_{11}h^2a^{*2} + B_{22}k^2b^{*2} + B_{33}l^2c^{*2} + 2B_{12}hka^*b^* + 2B_{13}hla^*c^* + 2B_{23}klb^*c^*)]$.

Таблица 3
Фроловит $\text{Ca}[\text{B}(\text{OH})_4]_2$. Межатомные расстояния (в скобках указаны стандартные отклонения)

| $\text{B}_1\text{-тетраэдр}$ | $\text{B}_2\text{-тетраэдр}$ | Са-полиэдр | | | | | |
|---|---|--|---|---|--|--|------------------------|
| $\text{B}_1\text{-O}_1$ 1,477(3) 1,472(3) $-O_2$ 1,485(2) 1,486(3) $-O_3$ 1,473(3) 1,475(3) $-O_4$ 1,478(3) 1,477(3) | $\text{B}_2\text{-O}_5$ 1,467(3) 1,468(3) $-O_6$ 1,502(3) 1,499(3) $-O_7$ 1,472(2) 1,472(3) $-O_8$ 1,489(3) 1,488(3) | $\text{Ca}-\text{O}_1$ 2,451(2) 2,462(2) $-O_2$ 2,432(1) 2,437(2) $-O_3$ 2,595(2) 2,613(2) $-O_4$ 2,441(2) 2,443(2) $-O_5$ 2,544(1) 2,556(2) $-O_6$ 2,453(2) 2,459(2) $-O_7$ 2,507(1) 2,513(1) $-O_8$ 2,451(2) 2,461(2) | | | | | |
| Среднее 1,478 1,478 | Среднее 1,482 1,481 | Среднее 2,484 2,493 | | | | | |
| O_1-O_2 2,438(2) 2,436(2) $-O_3$ 2,442(2) 2,442(3) $-O_4$ 2,430(2) 2,429(2) O_2-O_3 2,374(2) 2,374(2) $-O_4$ 2,362(2) 2,358(2) O_3-O_4 2,431(2) 2,429(2) | O_5-O_6 2,403(2) 2,406(2) $-O_7$ 2,415(2) 2,416(2) $-O_8$ 2,443(2) 2,439(2) O_6-O_7 2,408(2) 2,407(2) $-O_8$ 2,424(2) 2,421(2) O_7-O_8 2,428(2) 2,426(2) | O_1-O_2 2,960(2) 2,972(2) $-O_3$ 3,388(2) 3,397(3) $-O_4$ 4,319(3) 4,336(3) O_6-O_7 3,189(2) 3,205(2) $-O_8$ 3,089(2) 3,107(2) O_2-O_2' 2,822(2) 2,829(2) | O_2-O_3 2,374(2) 2,374(2) $-O_4$ 2,362(2) 2,358(2) $O_2'-O_3$ 3,635(2) 3,636(2) $-O_4$ 2,234(2) 2,250(2) $-O_8$ 3,107(2) 3,124(2) O_2-O_2' 3,024(2) 3,035(2) | O_3-O_8 3,543(2) 3,554(2) O_4-O_6 3,055(2) 3,075(2) O_3-O_8 3,247(2) 3,260(2) O_6-O_7 3,035(2) 3,053(2) $-O_8$ 3,379(2) 3,394(2) O_7-O_8 3,200(2) 3,213(2) | | | |
| Среднее 2,413 2,411 | Среднее 2,420 2,419 | | | | | | Среднее 3,165 3,171 |

Таблица 4

Водородные связи в структуре фроловита $\text{Ca}[\text{B}(\text{OH})_4]_2$

| $\text{D}-\text{H...A}$ | $\text{D}-\text{H}$ | H...A | $\text{D}-\text{A}$ | Угол DHA | $\text{D}-\text{H...A}$ | $\text{D}-\text{H}$ | H...A | $\text{D}-\text{A}$ | Угол DHA |
|----------------------------|---------------------|----------------|---------------------|----------|-----------------------------|---------------------|----------------|---------------------|----------|
| | Å | | Å | | | Å | | Å | |
| $O_1-\text{H}_1\ldots O_3$ | 0,83 | 2,12 | 2,753 | 171,7° | $O_5-\text{H}_5\ldots O_1$ | 0,75 | 2,04 | 2,774 | 166,6 |
| $O_2-\text{H}_2\ldots O_6$ | 0,89 | 1,88 | 2,716 | 165,8 | $O_6-\text{H}_6\ldots O_8$ | 0,78 | 2,06 | 2,836 | 169,4 |
| $O_3-\text{H}_3\ldots O_7$ | 0,78 | 2,16 | 2,893 | 157,3 | $O_7-\text{H}_7\ldots O_7'$ | 0,66 | 2,08 | 2,678 | 164,1 |
| $O_4-\text{H}_4\ldots O_5$ | 0,81 | 1,96 | 2,763 | 173,7 | $O_8-\text{H}_8\ldots O_4$ | 0,80 | 1,97 | 2,747 | 165,5 |

Выполненное уточнение кристаллической структуры фроловита $\text{Ca}[\text{B}(\text{OH})_4]_2$ подтвердило ранее описанный структурный мотив и основанное на анализе баланса валентных усилий предположение, что вся анионная часть структуры исследованного бората представлена OH -группами. Приведенная на рис. 2 проекция xz структуры демонстрирует связь слоев $\text{Ca}-\text{B}-\text{O}$ через фиксированные Н-связи.

Московский государственный университет
им. М. В. Ломоносова

Поступило
29 III 1976

ЛИТЕРАТУРА

¹ Ю. К. Егоров-Тисменко, А. Е. Гущина и др., ДАН, т. 202, № 1 (1972).